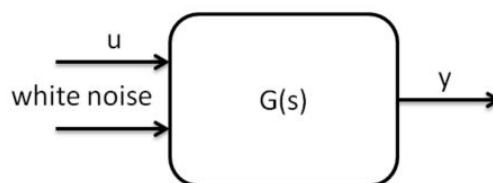


Identyfikacja procesów przemysłowych		
Dominik Wróbel	30 X 2018	Wt. 13:45, s. 111
Laboratorium 3		

1 Przebieg ćwiczenia

1.1. Zadanie 1

Zadanie polega na badaniu zachowania układu inercyjnego pierwszego rzędu z wymuszeniem losowym w postaci białego szumu, które jest dodawane do sterowania na wejściu do układu.



Rysunek 1: Układ rozważany w zadaniu

Układ taki opisany jest równaniem Ito:

$$dx = (-ax + bu)dt + \sqrt{g}dw, \quad u = \sin \omega_1 t$$
$$a = 2, \quad b = 3, \quad g = 0,01, \quad \omega_1 = \pi$$

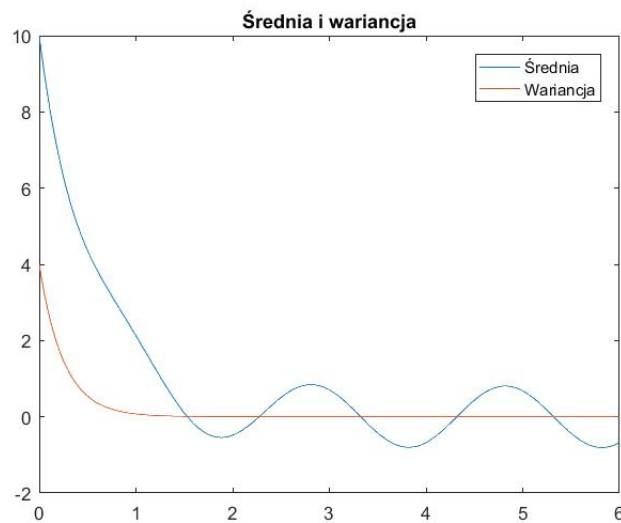
Warunek początkowy to zmienna losowa o rozkładzie $N(x_0, K_0)$, gdzie $x_0 = 10$, $K_0 = 4$.

1.1.1. Wyznaczenie średniej i wariancji procesu

Pierwszą czynnością w zadaniu było rozwiązanie numeryczne równań opisujących wartość średnią oraz wariancję procesu:

$$\dot{\mu} = -a\mu + bu, \quad \mu(0) = x_0,$$
$$\dot{K} = -2Ka + g, \quad K(0) = K_0$$

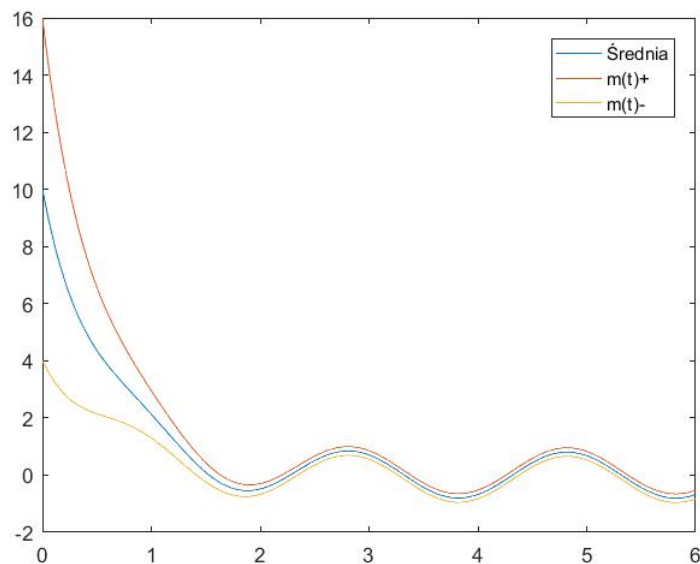
Równania zostały rozwiązane przy użyciu solvera ode45 dla czasu $t \in [0, 6]$.



Rysunek 2: Rozwiązania równań opisujących średnią i wariancję

1.1.2. Wyznaczenie odchylenie standardowego

Następnie wyznaczono odchylenie standardowe korzystając ze wzoru $\sigma(t) = \sqrt{K(t)}$. Na jednym wykresie przedstawiono średnią procesu oraz linie $m(t) = \mu(t) \pm 3\sigma(t)$, $t \in [0, 6]$. Rezultat przedstawia Rysunek 3.



Rysunek 3: Wartość średnia wraz z liniami $m(t)$.

Rozważany układ jest jednowymiarowy, wzór na rozkład prawdopodobieństwa procesu w chwili t wy-

raża się wzorem:

$$p(x, t) = \frac{1}{\sigma\sqrt{2\pi}} e^{-\frac{(x-\mu)^2}{2\sigma^2}}$$

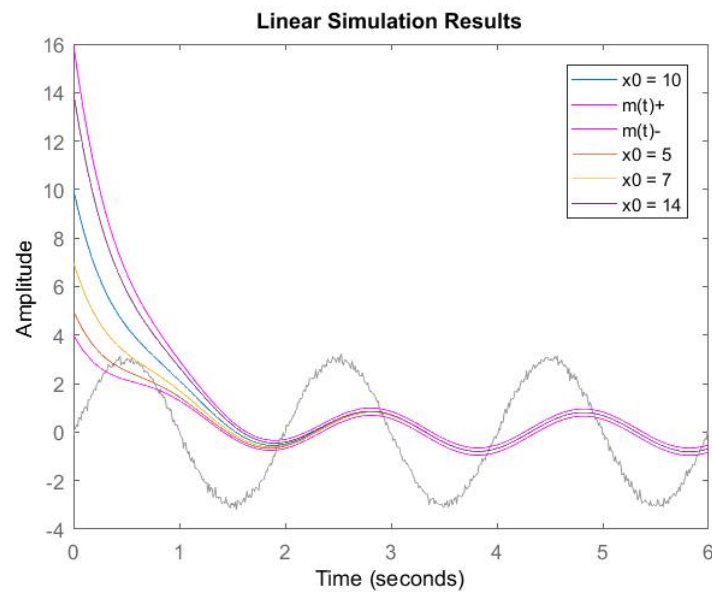
Prawdopodobieństwo, że $x(t) \in [\mu(t) - 3\sigma(t), \mu(t) + 3\sigma(t)]$ oblicza się przy pomocy dystrybucji rozkładu normalnego:

$$P(E - 2\sigma < X < E + 3\sigma) = \Phi(3) - \Phi(-3) = 2\Phi(3) - 1 = 99,7\%$$

Asymptotyczne odchylenie standardowe $\lim_{t \rightarrow \infty} \sqrt{K(t)}$ można obliczyć na podstawie równania różniczkowego przy założeniu, że $\dot{K} = 0$ dla $t \rightarrow \infty$. Wtedy $K = \frac{a}{2a} = 0,0025$.

1.1.3. Badania zachowania układu dla różnych warunków początkowych

Następnie na jednym wykresie przedstawiono kilka różnych przebiegów procesu dla różnych warunków początkowych. Jak widać, wszystkie z eksperymentów zawierają się w wyznaczonych liniach $m(t)$. Wyniki przedstawia Rysunek 4. Kolorem szarym oznaczono sygnał wejściowy.



Rysunek 4: Przeprowadzone eksperymenty dla różnych warunków początkowych.

1.1.4. Kod programu

Kod programu prezentuje listing poniżej.

```
1 close all;
2 clear all;
3
4 tspan = 0:0.01:6;
5
6 a=2;
```

```
7 b=3;
8 g = 0.01;
9 w1 = pi;
10
11 mi0 = 10;
12 [t1,mi] = ode45(@(t,mi) -a*mi + b*sin(w1*t), tspan, mi0);
13
14 figure();
15 plot(t1,mi);
16
17 K0 = 4;
18 [t2,K] = ode45(@(t,K) -2*a*K + g, tspan, K0);
19
20 hold on;
21 plot(t2,K);
22
23
24 sigma = sqrt(K);
25 sigmaPlus = mi + 3*sigma;
26 sigmaMinus = mi - 3*sigma;
27
28 figure();
29 plot(t2,mi);
30 hold on;
31 plot(t2,sigmaPlus)
32 hold on;
33 plot(t2,sigmaMinus)
34
35 A = -a;
36 B = 1;
37 C = 1;
38 D = 0;
39
40 figure()
41 uSin = sin(w1*t1);
42 noise = randn(length(t1),1);
43
44 uControl = b*uSin + sqrt(g)*noise;
45
46
47 sys = ss(A,B,C,D);
48
49 x0 = 10;
50 lsim(sys,uControl,tspan,x0)
51
52 hold on;
53 plot(t2,sigmaPlus,'m');
54 hold on;
55 plot(t2,sigmaMinus,'m');
56
57 hold on;
58 x0 = 5;
59 lsim(sys,uControl,tspan,x0)
60
61 hold on;
```

```

62 x0 = 7;
63 lsim(sys,uControl,tspan,x0)
64
65 hold on;
66 x0 = 14;
67 lsim(sys,uControl,tspan,x0)

```

Listing 1: Zadanie 1

1.2. Zadanie 2

Zadanie jest analogiczne do zadania 1, które schematycznie przedstawia Rysunek 1, tym razem analizowanym układem jest układ II rzędu, opisany równaniem Ito:

$$\begin{aligned}
 dx &= (Ax + Bu)dt + Gdw \\
 A &= \begin{bmatrix} 0 & 1 \\ -\omega_0^2 & -2\xi\omega_0 \end{bmatrix} \quad B = \begin{bmatrix} 0 \\ b \end{bmatrix} \quad G = \begin{bmatrix} 0 \\ \sqrt{g} \end{bmatrix} \quad u = 0 \\
 \omega_0 &= 1, \quad \xi = 0,1, \quad b = 1, \quad g = 1
 \end{aligned}$$

Warunkiem początkowym jest zmienna losowa o rozkładzie normalnym $N(x_0, K_0)$, przy czym $x_0 = [15 \quad 0]$, $K_0 = 10^{-1} \text{diag}(1, 1)$.

1.2.1. Średnia i macierz kowariancji

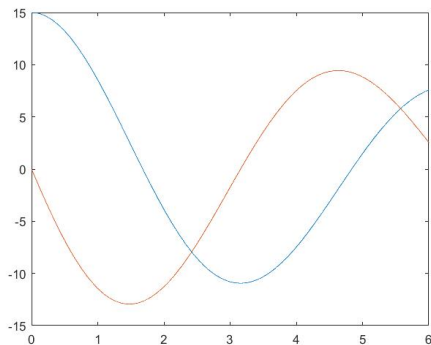
Zadanie rozpoczęto od numerycznego rozwiązania równań opisujących średnią oraz macierz kowariancji:

$$\begin{aligned}
 \dot{\mu} &= A\mu + Bu, \quad \mu(0) = x_0 \\
 \dot{K} &= KA^T + AK + GG^T, \quad K(0) = K_0
 \end{aligned}$$

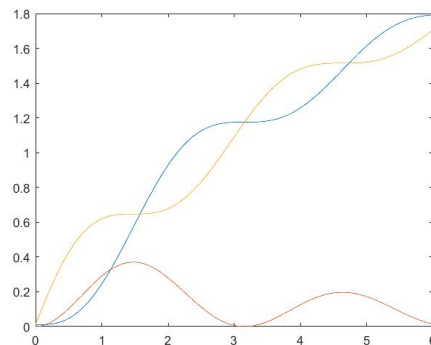
Macierz K jest symetryczna więc równanie opisujące macierz kowariancji sprowadza się do układu równań:

$$\begin{aligned}
 \dot{K}_{11} &= 2K_{12}, \quad K_{11}(0) = 10^{-3} \\
 \dot{K}_{12} &= K_{22} - 2\xi\omega_0 K_{12} - \omega_0^2 K_{12}, \quad K_{12}(0) = 0 \\
 \dot{K}_{22} &= -2\omega_0^2 K_{12} - 4\xi\omega_0 K_{22} + g, \quad K_{22}(0) = 10^{-3}
 \end{aligned}$$

Równanie opisujące średnią oraz układ równań opisujący macierz kowariancji rozwiązano numerycznie przy użyciu solvera ode45. Otrzymane rozwiązania przedstawiają Rysunki 5 oraz 6. s



Rysunek 5: Średnia

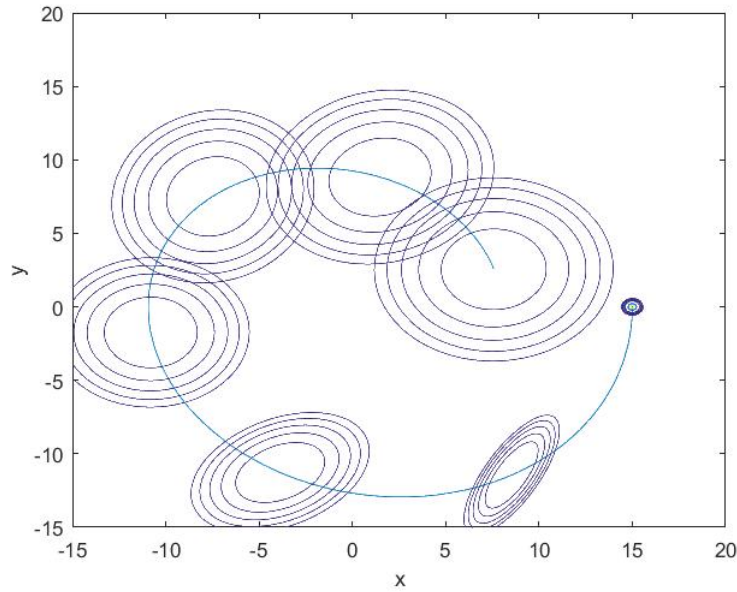

Rysunek 6: Kowariancja K_{11}, K_{12}, K_{22}

1.2.2. Portret fazowy i rozkład prawdopodobieństwa

Rozkład prawdopodobieństwa procesu w chwili t opisuje wzór:

$$p(t, x) = \frac{1}{2\pi|K(t)|} e^{0,5(x-\mu(t))^T K(t)^{-1}(x-\mu(t))}$$

Na podstawie tego wzoru można narysować poziomice rozkładu w chwilach $t = 0, 1, 2, 3, 4, 5, 6$ wraz z portretem fazowym średniej. Wyniki prezentuje Rysunek 7.



Rysunek 7: Portret fazowy wraz z poziomcami rozkładu prawdopodobieństwa w kolejnych chwilach czasu $t = 0, 1, 2, 3, 4, 5, 6$.

Na podstawie zadania 1 obliczono prawdopodobieństwo $P(|x_1(t) - \mu_1(t)| > 3\sqrt{K_{11}(t)})$, $t = 6$. Z zadania 1 wiadomo, że

$$P(E - 2\sigma < X < E + 3\sigma) = \Phi(3) - \Phi(-3) = 2\Phi(3) - 1 = 99,7\%$$

więc na tej podstawie łatwo stwierdzić, że $P(|x_1(t) - \mu_1(t)| > 3\sqrt{K_{11}(t)}) = 0,03\%$, $t = 6$

1.2.3. Asymptotyczna kowariancja i średnia procesu

Podobnie jak w zadaniu 1, zakłada się, że w nieskończoności zmiany średniej i kowariancji są równe zero, a zatem w celu obliczenia asymptotycznych wartości tych wielkości przyrównano równania je opisujące do 0.

$$0 = A\mu \rightarrow \mu = \begin{bmatrix} 0 \\ 0 \end{bmatrix}$$

$$0 = 2K_{12}$$

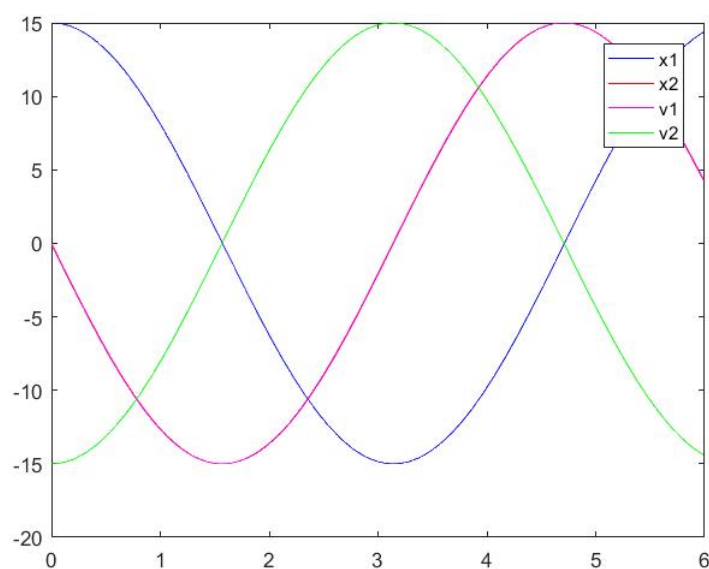
$$0 = K_{22} - 2\xi\omega_0 K_{12} - \omega_0^2 K_{12}$$

$$0 = -2\omega_0^2 K_{12} - 4\xi\omega_0 K_{22} + g$$

$$K_{asm} = \begin{bmatrix} \frac{g}{4\xi\omega_0^3} & 0 \\ 0 & \frac{g}{4\xi\omega_0} \end{bmatrix} = \begin{bmatrix} 2,5 & 0 \\ 0 & 2,5 \end{bmatrix}$$

1.2.4. Badanie układu dla $\xi = 0$.

Dla tej wartości współczynnika tłumienia narysowano przebieg średniej położenia oraz prędkości. Z wykresów widać, że wielkości te mają przebieg sinusoidalny przy czym wartości prędkości odpowiadające położeniom są sinusami różniącymi się w fazie. Takie zachowanie jest uzasadnione ponieważ układ dla $\xi = 0$ jest układem nietłumionym i wykonuje drgania o niezminiającej się amplitudzie.



Rysunek 8: Położenie oraz prędkość w dziedzinie czasu dla $\xi = 0$.

1.3. Kod programu

Kod programu prezentuje listing poniżej.

```

1 clear all;
2 close all;
3
4 tspan = 0:0.01:6;
5
6 w0 = 1;
7 ksi = 0; % dla ksi = 0
8 b = 1;
9 g = 1;
10
11 A = [ 0 1 ; -w0^2 -2*ksi*w0 ];
12 B = [ 0 ; b ];
13 G = [ 0 ; sqrt(g) ];

```

```

14 u = 0;
15
16 x0 = [15, 0]';
17 K0 = (10^-1) * diag(1,1);
18
19 mi0 = x0;
20
21 [t1,miMatrix] = ode45(@(t,mi) A*mi + B*u, tspan, mi0);
22
23 for i = 1:length(t1)-1
24     v(i,1) = (miMatrix(i+1,1)-miMatrix(i,1))/(t1(i+1)-t1(i)) ;
25     v(i,2) = (miMatrix(i+1,2)-miMatrix(i,2))/(t1(i+1)-t1(i)) ;
26 end
27 tv = t1(1:600);
28
29 figure()
30 plot(t1, miMatrix(:,1));
31 hold on;
32 plot(t1, miMatrix(:,2));
33
34
35
36 [t2,kMatrix] = ode45(@vdp1,tspan,[0.01; 0; 0.01]);
37 figure()
38 plot(t2, kMatrix(:,1));
39 hold on;
40 plot(t2, kMatrix(:,2));
41 hold on;
42 plot(t2, kMatrix(:,3));
43
44
45 figure();
46 plot(t1, miMatrix(:,1), 'b');
47 hold on;
48 plot(t1, miMatrix(:,2), 'r');
49 hold on;
50 plot(tv, v(:,1), 'm');
51 hold on;
52 plot(tv, v(:,2), 'g');
53
54 hold on;
55 mu = [miMatrix(1,1) miMatrix(1,2)];
56 Sigma = [kMatrix(1,1) kMatrix(1,2); kMatrix(1,2) kMatrix(1,3)];
57 x1 = -15:0.01:20; x2 = -15:0.01:20;
58 [X1,X2] = meshgrid(x1,x2);
59 F = mvnpdf([X1(:) X2(:)],mu,Sigma);
60 F = reshape(F,length(x2),length(x1));
61
62 mvncdf([0 0],[1 1],mu,Sigma);
63 contour(x1,x2,F,[0.000001 0.00001 0.0001 0.001 0.01 1 2 10 50 100 1000]);
64 xlabel('x'); ylabel('y');

```

Listing 2: Zadanie 1

2 Wnioski końcowe

Przeprowadzone eksperymenty pozwalają na uzyskanie informacji o wyjściu układu przy zakłóceniach obecnych na wejściu układu. Informacja taka pozwala stwierdzić w jakim przedziale znajdować będzie się wartość zmiennej procesowej w danej chwili czasu.